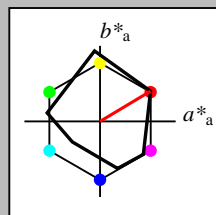


Eingabe: Farbmétrisches Reflexions-System MRS18a

für Buntton $h^* = lab^*h = 31/360 = 0.086$
 lab^*ich und lab^*nch

D65: Buntton R
LCH*Ma: 50 78 31
rgb*Ma: 1.0 0.0 0.0

Dreiecks-Helligkeit t^*



%Umfang
 $u^*_{rel} = 92$
%Regularität
 $g^*_{H,rel} = 42$
 $g^*_{C,rel} = 49$

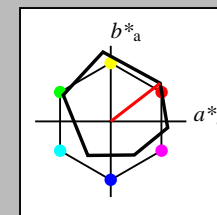
MRS18a; adaptierte CIELAB-Daten					
	$L^*=L^*_a$	a^*_a	b^*_a	$C^*_{ab,a}$	$h^*_{ab,a}$
RMa	49.63	66.8	40.02	77.87	31
JMa	90.7	-7.27	93.19	93.48	94
GMa	52.11	-69.93	11.26	70.85	171
G50BMa	45.03	-36.65	-27.13	45.61	217
BMa	36.65	23.26	-62.27	66.49	290
B50RMa	34.94	57.27	-43.6	71.99	323
NMa	18.01	0.0	0.0	0.0	0
WMa	95.41	0.0	0.0	0.0	0
RCIE	39.92	58.67	27.97	64.99	25
JCIE	81.26	-2.91	71.56	71.62	92
GCIE	52.23	-42.47	13.58	44.6	162
BCIE	30.57	1.33	-46.48	46.51	272

Ausgabe: Farbmétrisches Reflexions-System ORS18

für Buntton $h^* = lab^*h = 38/360 = 0.105$
 lab^*ich und lab^*nch

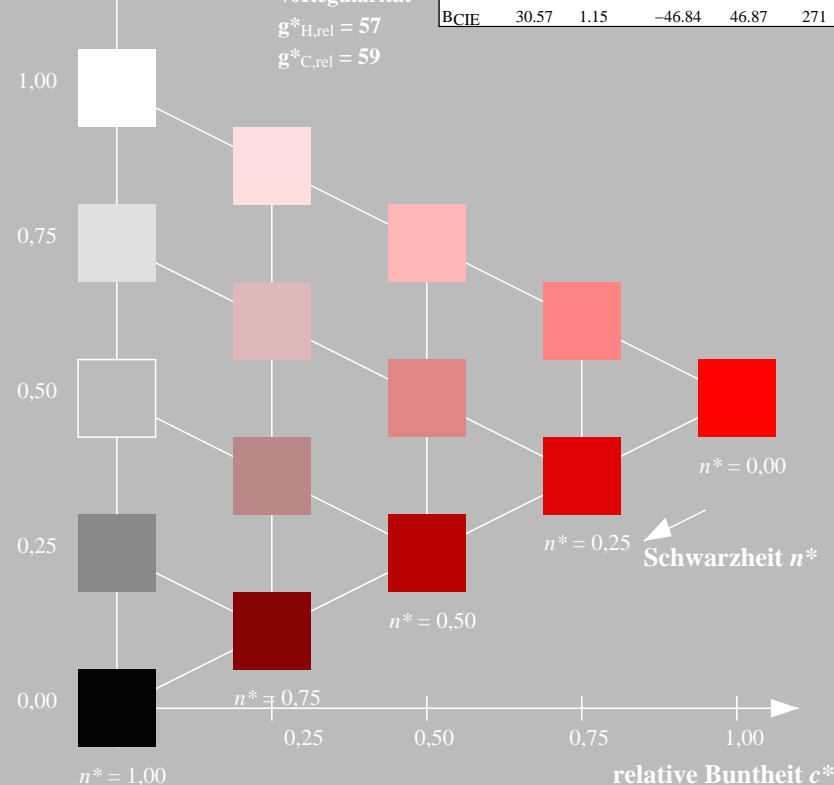
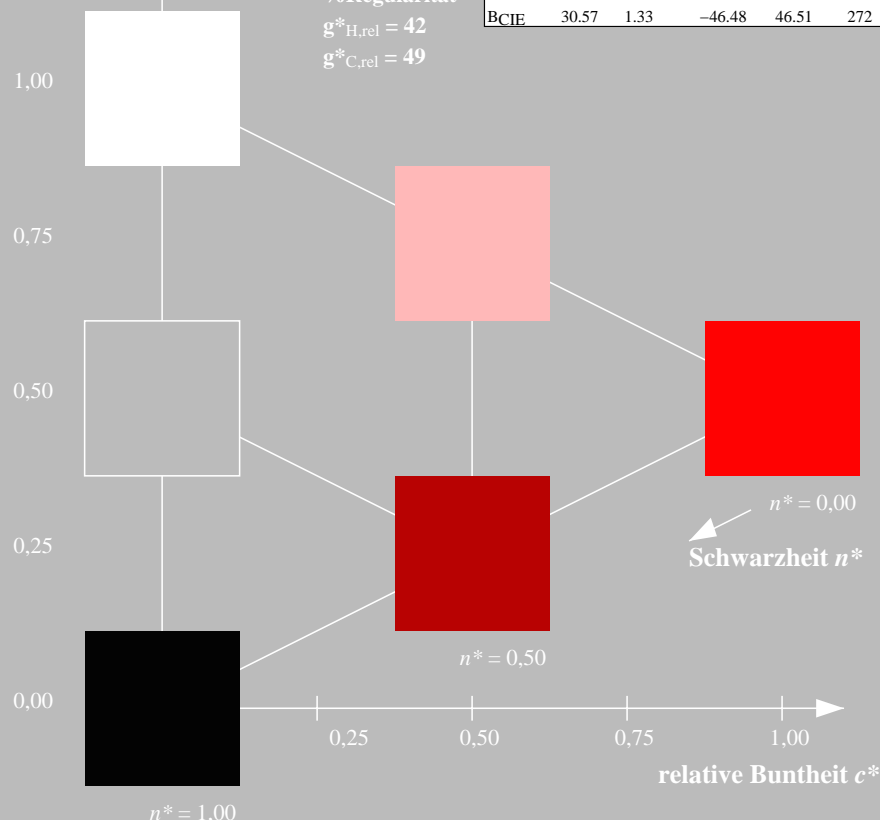
D65: Buntton O
LCH*Ma: 48 83 38
rgb*Ma: 1.0 0.0 0.0

Dreiecks-Helligkeit t^*



%Umfang
 $u^*_{rel} = 93$
%Regularität
 $g^*_{H,rel} = 57$
 $g^*_{C,rel} = 59$

ORS18; adaptierte CIELAB-Daten					
	$L^*=L^*_a$	a^*_a	b^*_a	$C^*_{ab,a}$	$h^*_{ab,a}$
RMa	47.94	65.37	50.52	82.62	38
JMa	90.37	-10.27	91.77	92.34	96
GMa	50.9	-62.79	34.95	71.87	151
G50BMa	58.62	-30.35	-45.01	54.3	236
BMa	25.71	31.11	-44.42	54.24	305
B50RMa	48.13	75.27	-8.35	75.73	354
NMa	18.01	0.0	0.0	0.0	0
WMa	95.41	0.0	0.0	0.0	0
RCIE	39.92	58.66	26.98	64.56	25
JCIE	81.26	-2.17	67.76	67.79	92
GCIE	52.23	-42.26	11.75	43.87	164
BCIE	30.57	1.15	-46.84	46.87	271



TG660-7, 3stufige Reihen für konstanten CIELAB Buntton 31/360 = 0.086 (links)

5stufige Reihen für konstanten CIELAB Buntton 38/360 = 0.105 (rechts)

BAM-Prüfvorlage TG66; Farbmétrik-Systeme MRS18a & ORS18
D65: 3 und 5stufige Farbreihen für 10 Bunttöne

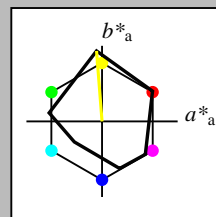
input: `olv* setrgbcolor`
output: `olv* setrgbcolor / w* setgray`

Eingabe: Farbmétrisches Reflexions-System MRS18a

für Buntton $h^* = lab^*h = 94/360 = 0.262$
 lab^*ich und lab^*nch

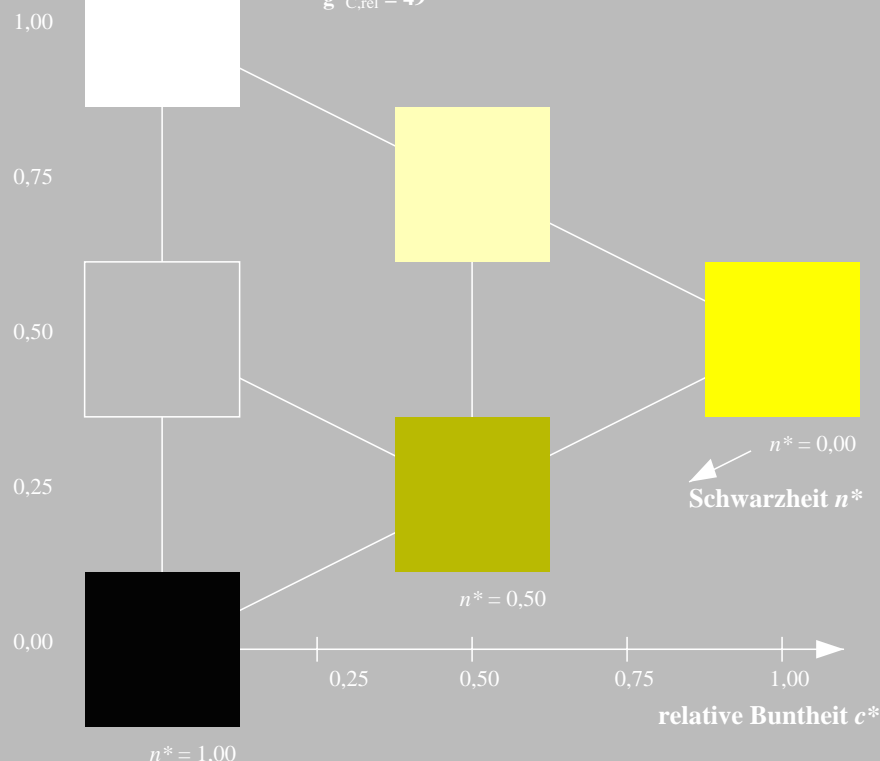
D65: Buntton J
LCH*Ma: 91 93 94
rgb*Ma: 1.0 1.0 0.0

Dreiecks-Helligkeit t^*



%Umfang
 $u^*_{rel} = 92$
%Regularität
 $g^*_{H,rel} = 42$
 $g^*_{C,rel} = 49$

MRS18a; adaptierte CIELAB-Daten					
	$L^*=L^*_a$	a^*_a	b^*_a	$C^*_{ab,a}$	$h^*_{ab,a}$
RMa	49.63	66.8	40.02	77.87	31
JMa	90.7	-7.27	93.19	93.48	94
GMa	52.11	-69.93	11.26	70.85	171
G50BMa	45.03	-36.65	-27.13	45.61	217
BMa	36.65	23.26	-62.27	66.49	290
B50RMa	34.94	57.27	-43.6	71.99	323
NMa	18.01	0.0	0.0	0.0	0
WMa	95.41	0.0	0.0	0.0	0
RCIE	39.92	58.67	27.97	64.99	25
JCIE	81.26	-2.91	71.56	71.62	92
GCIE	52.23	-42.47	13.58	44.6	162
BCIE	30.57	1.33	-46.48	46.51	272



TG660-7, 3stufige Reihen für konstanten CIELAB Buntton 94/360 = 0.262 (links)

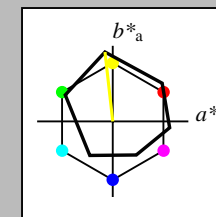
BAM-Prüfvorlage TG66; Farbmétrik-Systeme MRS18a & ORS18
D65: 3 und 5stufige Farbreihen für 10 Bunttöne

Ausgabe: Farbmétrisches Reflexions-System ORS18

für Buntton $h^* = lab^*h = 96/360 = 0.268$
 lab^*ich und lab^*nch

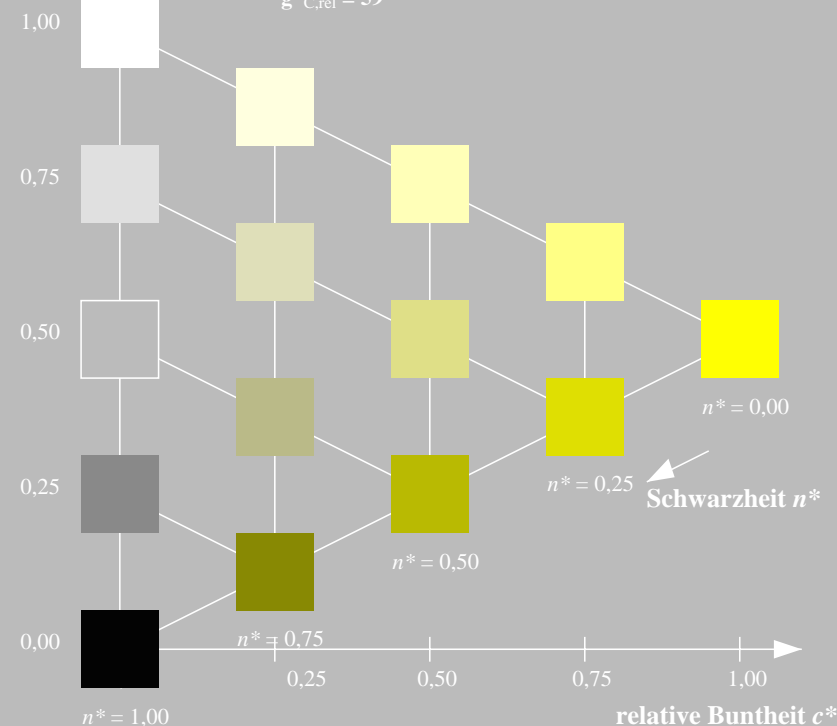
D65: Buntton Y
LCH*Ma: 90 92 96
rgb*Ma: 1.0 1.0 0.0

Dreiecks-Helligkeit t^*



%Umfang
 $u^*_{rel} = 93$
%Regularität
 $g^*_{H,rel} = 57$
 $g^*_{C,rel} = 59$

ORS18; adaptierte CIELAB-Daten					
	$L^*=L^*_a$	a^*_a	b^*_a	$C^*_{ab,a}$	$h^*_{ab,a}$
RMa	47.94	65.37	50.52	82.62	38
JMa	90.37	-10.27	91.77	92.34	96
GMa	50.9	-62.79	34.95	71.87	151
G50BMa	58.62	-30.35	-45.01	54.3	236
BMa	25.71	31.11	-44.42	54.24	305
B50RMa	48.13	75.27	-8.35	75.73	354
NMa	18.01	0.0	0.0	0.0	0
WMa	95.41	0.0	0.0	0.0	0
RCIE	39.92	58.66	26.98	64.56	25
JCIE	81.26	-2.17	67.76	67.79	92
GCIE	52.23	-42.26	11.75	43.87	164
BCIE	30.57	1.15	-46.84	46.87	271



5stufige Reihen für konstanten CIELAB Buntton 96/360 = 0.268 (rechts)

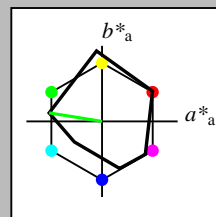
Input: `olv* setrgbcolor`
output: `olv* setrgbcolor / w* setgray`

Eingabe: Farbmétrisches Reflexions-System MRS18a

für Buntton $h^* = lab^*h = 171/360 = 0.475$
 lab^*ich und lab^*nch

D65: Buntton G
LCH*Ma: 52 71 171
rgb*Ma: 0.0 1.0 0.0

Dreiecks-Helligkeit t^*



%Umfang
 $u^*_{rel} = 92$
%Regularität
 $g^*_{H,rel} = 42$
 $g^*_{C,rel} = 49$

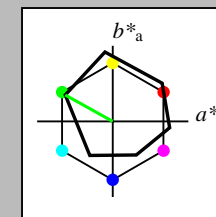
MRS18a; adaptierte CIELAB-Daten					
	$L^*=L^*_a$	a^*_a	b^*_a	$C^*_{ab,a}$	$h^*_{ab,a}$
RMa	49.63	66.8	40.02	77.87	31
JMa	90.7	-7.27	93.19	93.48	94
GMa	52.11	-69.93	11.26	70.85	171
G50BMa	45.03	-36.65	-27.13	45.61	217
BMa	36.65	23.26	-62.27	66.49	290
B50RMa	34.94	57.27	-43.6	71.99	323
NMa	18.01	0.0	0.0	0.0	0
WMa	95.41	0.0	0.0	0.0	0
RCIE	39.92	58.67	27.97	64.99	25
JCIE	81.26	-2.91	71.56	71.62	92
GCIE	52.23	-42.47	13.58	44.6	162
BCIE	30.57	1.33	-46.48	46.51	272

Ausgabe: Farbmétrisches Reflexions-System ORS18

für Buntton $h^* = lab^*h = 151/360 = 0.419$
 lab^*ich und lab^*nch

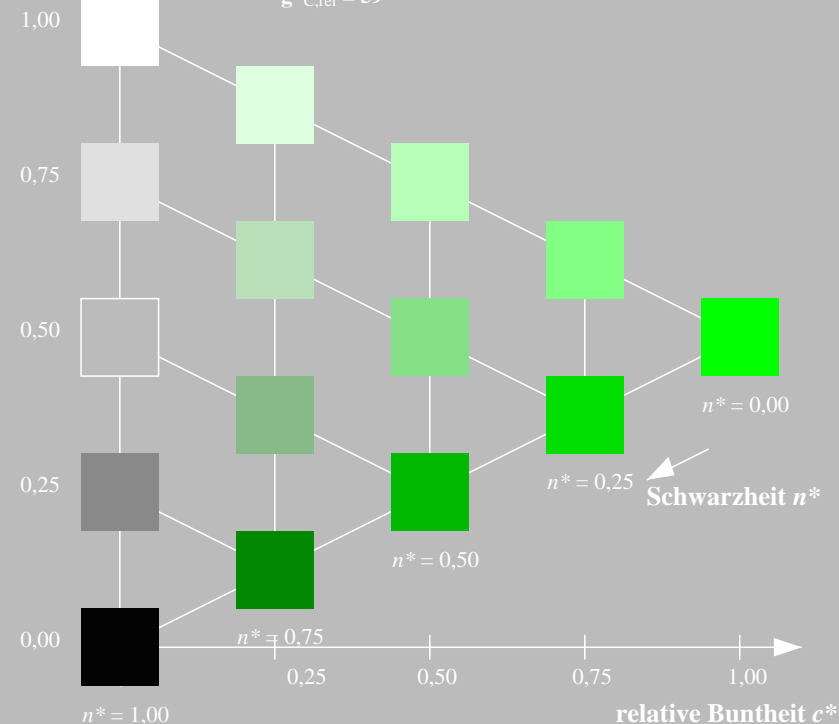
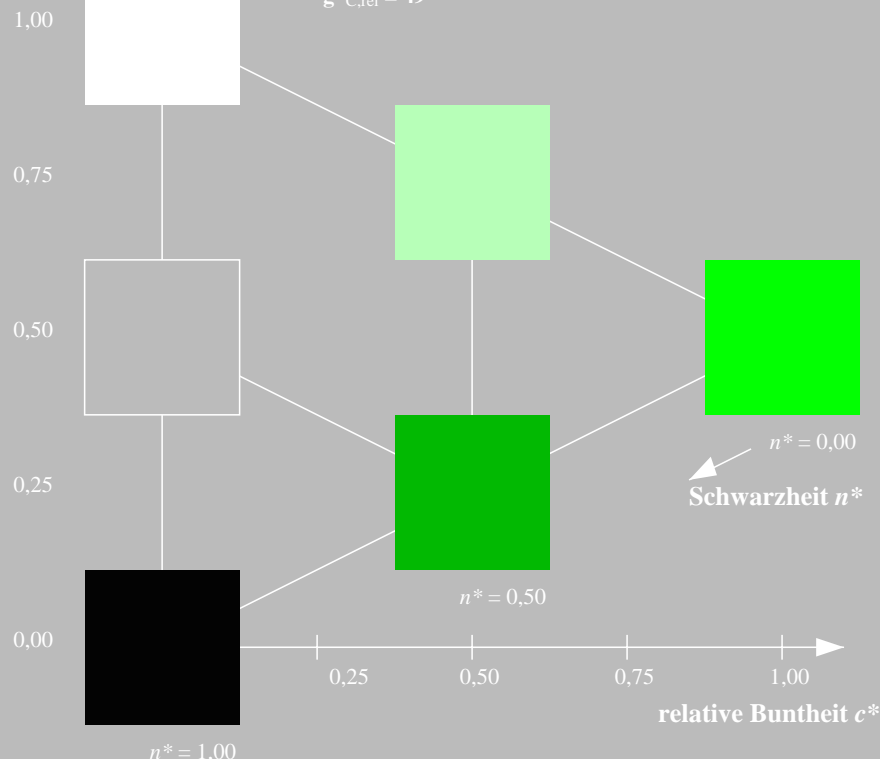
D65: Buntton L
LCH*Ma: 51 72 151
rgb*Ma: 0.0 1.0 0.0

Dreiecks-Helligkeit t^*



%Umfang
 $u^*_{rel} = 93$
%Regularität
 $g^*_{H,rel} = 57$
 $g^*_{C,rel} = 59$

ORS18; adaptierte CIELAB-Daten					
	$L^*=L^*_a$	a^*_a	b^*_a	$C^*_{ab,a}$	$h^*_{ab,a}$
RMa	47.94	65.37	50.52	82.62	38
JMa	90.37	-10.27	91.77	92.34	96
GMa	50.9	-62.79	34.95	71.87	151
G50BMa	58.62	-30.35	-45.01	54.3	236
BMa	25.71	31.11	-44.42	54.24	305
B50RMa	48.13	75.27	-8.35	75.73	354
NMa	18.01	0.0	0.0	0.0	0
WMa	95.41	0.0	0.0	0.0	0
RCIE	39.92	58.66	26.98	64.56	25
JCIE	81.26	-2.17	67.76	67.79	92
GCIE	52.23	-42.26	11.75	43.87	164
BCIE	30.57	1.15	-46.84	46.87	271



TG660-7, 3stufige Reihen für konstanten CIELAB Buntton 171/360 = 0.475 (links)

5stufige Reihen für konstanten CIELAB Buntton 151/360 = 0.419 (rechts)

BAM-Prüfvorlage TG66; Farbmétrik-Systeme MRS18a & ORS18
D65: 3 und 5stufige Farbreihen für 10 Bunttöne

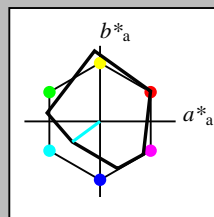
input: `olv* setrgbcolor`
output: `olv* setrgbcolor / w* setgray`

Eingabe: Farbmétrisches Reflexions-System MRS18a

für Buntton $h^* = lab^*h = 217/360 = 0.601$
 lab^*ich und lab^*nch

D65: Buntton G50B
LCH*Ma: 45 46 217
rgb*Ma: 0.0 1.0 1.0

Dreiecks-Helligkeit t^*



%Umfang
 $u^*_{rel} = 92$
%Regularität
 $g^*_{H,rel} = 42$
 $g^*_{C,rel} = 49$

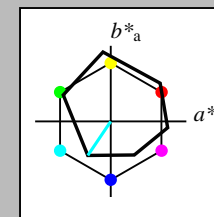
MRS18a; adaptierte CIELAB-Daten					
	$L^*=L^*_a$	a^*_a	b^*_a	$C^*_{ab,a}$	$h^*_{ab,a}$
RMa	49.63	66.8	40.02	77.87	31
JMa	90.7	-7.27	93.19	93.48	94
GMa	52.11	-69.93	11.26	70.85	171
G50BMa	45.03	-36.65	-27.13	45.61	217
BMa	36.65	23.26	-62.27	66.49	290
B50RMa	34.94	57.27	-43.6	71.99	323
NMa	18.01	0.0	0.0	0.0	0
WMa	95.41	0.0	0.0	0.0	0
RCIE	39.92	58.67	27.97	64.99	25
JCIE	81.26	-2.91	71.56	71.62	92
GCIE	52.23	-42.47	13.58	44.6	162
BCIE	30.57	1.33	-46.48	46.51	272

Ausgabe: Farbmétrisches Reflexions-System ORS18

für Buntton $h^* = lab^*h = 236/360 = 0.656$
 lab^*ich und lab^*nch

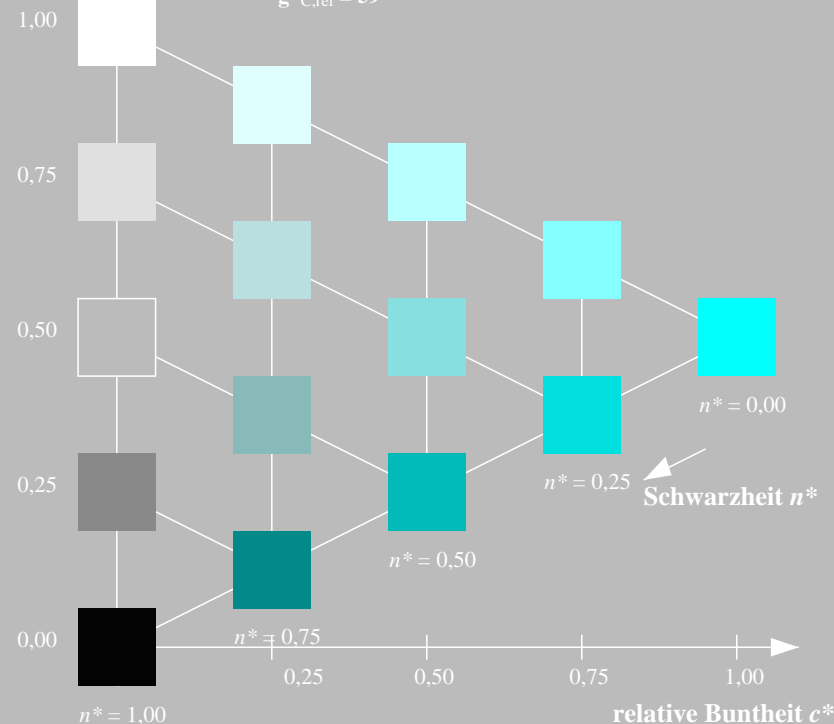
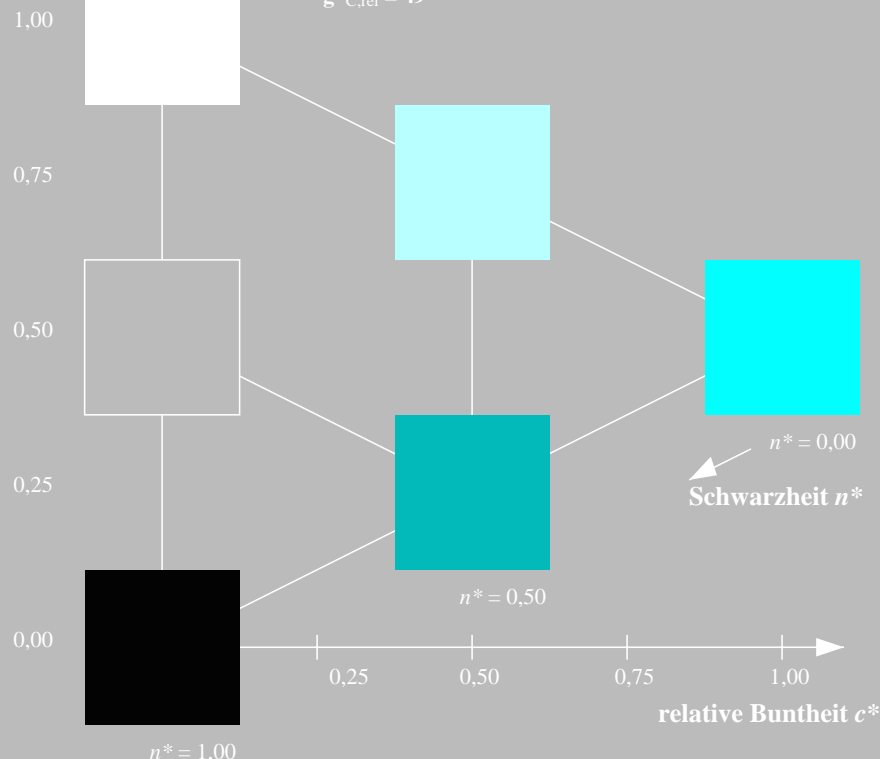
D65: Buntton C
LCH*Ma: 59 54 236
rgb*Ma: 0.0 1.0 1.0

Dreiecks-Helligkeit t^*



%Umfang
 $u^*_{rel} = 93$
%Regularität
 $g^*_{H,rel} = 57$
 $g^*_{C,rel} = 59$

ORS18; adaptierte CIELAB-Daten					
	$L^*=L^*_a$	a^*_a	b^*_a	$C^*_{ab,a}$	$h^*_{ab,a}$
RMa	47.94	65.37	50.52	82.62	38
JMa	90.37	-10.27	91.77	92.34	96
GMa	50.9	-62.79	34.95	71.87	151
G50BMa	58.62	-30.35	-45.01	54.3	236
BMa	25.71	31.11	-44.42	54.24	305
B50RMa	48.13	75.27	-8.35	75.73	354
NMa	18.01	0.0	0.0	0.0	0
WMa	95.41	0.0	0.0	0.0	0
RCIE	39.92	58.66	26.98	64.56	25
JCIE	81.26	-2.17	67.76	67.79	92
GCIE	52.23	-42.26	11.75	43.87	164
BCIE	30.57	1.15	-46.84	46.87	271



TG660-7, 3stufige Reihen für konstanten CIELAB Buntton 217/360 = 0.601 (links)

5stufige Reihen für konstanten CIELAB Buntton 236/360 = 0.656 (rechts)

BAM-Prüfvorlage TG66; Farbmétrik-Systeme MRS18a & ORS18
D65: 3 und 5stufige Farbreihen für 10 Bunttöne

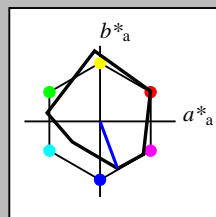
Input: `olv* setrgbcolor`
output: `olv* setrgbcolor / w* setgray`

Eingabe: Farbmétrisches Reflexions-System MRS18a

für Buntton $h^* = lab^*h = 290/360 = 0.807$
 lab^*ich und lab^*nch

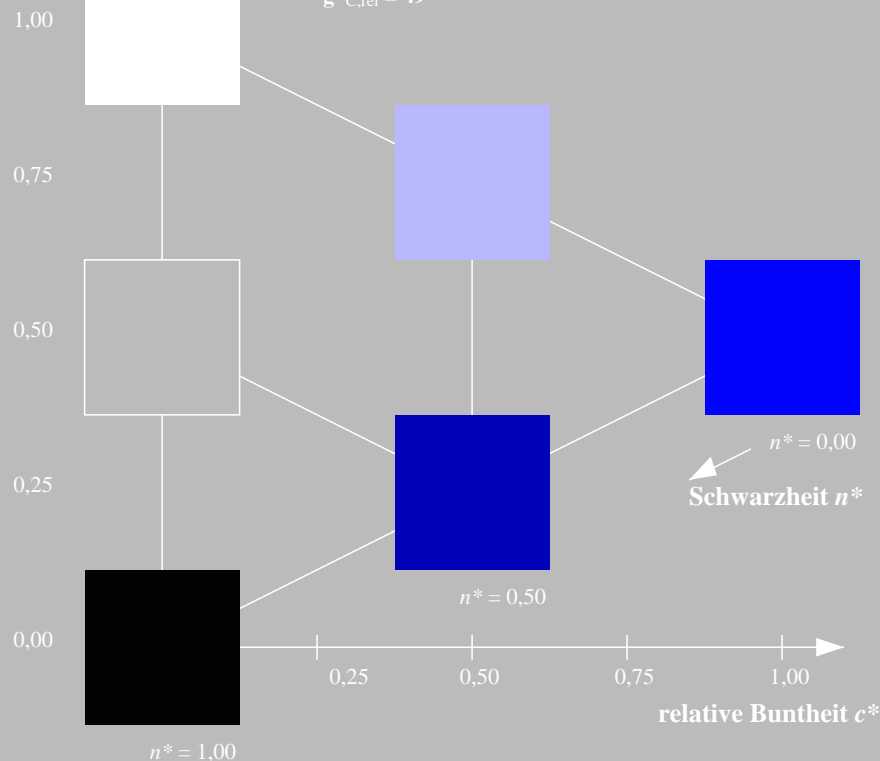
D65: Buntton B
LCH*Ma: 37 66 290
rgb*Ma: 0.0 0.0 1.0

Dreiecks-Helligkeit t^*



%Umfang
 $u^*_{rel} = 92$
%Regularität
 $g^*_{H,rel} = 42$
 $g^*_{C,rel} = 49$

MRS18a; adaptierte CIELAB-Daten					
	$L^*=L^*_a$	a^*_a	b^*_a	$C^*_{ab,a}$	$h^*_{ab,a}$
RMa	49.63	66.8	40.02	77.87	31
JMa	90.7	-7.27	93.19	93.48	94
GMa	52.11	-69.93	11.26	70.85	171
G50BMa	45.03	-36.65	-27.13	45.61	217
BMa	36.65	23.26	-62.27	66.49	290
B50RMa	34.94	57.27	-43.6	71.99	323
NMa	18.01	0.0	0.0	0.0	0
WMa	95.41	0.0	0.0	0.0	0
RCIE	39.92	58.67	27.97	64.99	25
JCIE	81.26	-2.91	71.56	71.62	92
GCIE	52.23	-42.47	13.58	44.6	162
BCIE	30.57	1.33	-46.48	46.51	272

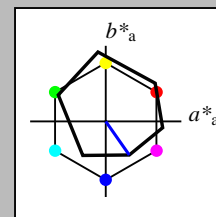


Ausgabe: Farbmétrisches Reflexions-System ORS18

für Buntton $h^* = lab^*h = 305/360 = 0.847$
 lab^*ich und lab^*nch

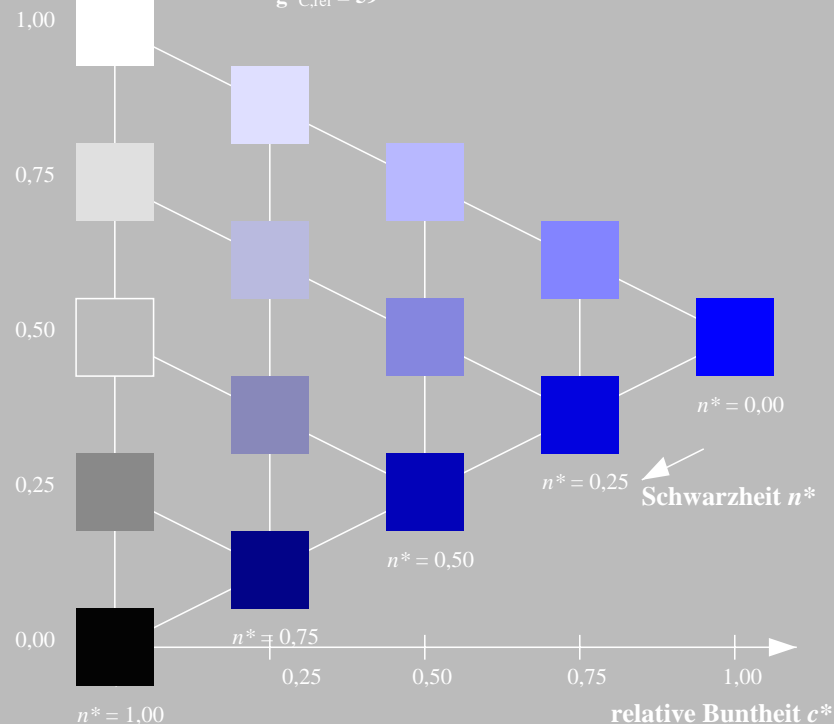
D65: Buntton V
LCH*Ma: 26 54 305
rgb*Ma: 0.0 0.0 1.0

Dreiecks-Helligkeit t^*



%Umfang
 $u^*_{rel} = 93$
%Regularität
 $g^*_{H,rel} = 57$
 $g^*_{C,rel} = 59$

ORS18; adaptierte CIELAB-Daten					
	$L^*=L^*_a$	a^*_a	b^*_a	$C^*_{ab,a}$	$h^*_{ab,a}$
RMa	47.94	65.37	50.52	82.62	38
JMa	90.37	-10.27	91.77	92.34	96
GMa	50.9	-62.79	34.95	71.87	151
G50BMa	58.62	-30.35	-45.01	54.3	236
BMa	25.71	31.11	-44.42	54.24	305
B50RMa	48.13	75.27	-8.35	75.73	354
NMa	18.01	0.0	0.0	0.0	0
WMa	95.41	0.0	0.0	0.0	0
RCIE	39.92	58.66	26.98	64.56	25
JCIE	81.26	-2.17	67.76	67.79	92
GCIE	52.23	-42.26	11.75	43.87	164
BCIE	30.57	1.15	-46.84	46.87	271



TG660-7, 3stufige Reihen für konstanten CIELAB Buntton 290/360 = 0.807 (links)

5stufige Reihen für konstanten CIELAB Buntton 305/360 = 0.847 (rechts)

BAM-Prüfvorlage TG66; Farbmétrik-Systeme MRS18a & ORS18

D65: 3 und 5stufige Farbreihen für 10 Bunttöne

input: `olv* setrgbcolor`

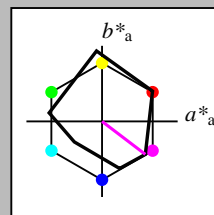
output: `olv* setrgbcolor / w* setgray`

Eingabe: Farbmétrisches Reflexions-System MRS18a

für Buntton $h^* = lab^*h = 323/360 = 0.896$
 lab^*ich und lab^*nch

D65: Buntton B50R
LCH*Ma: 35 72 323
rgb*Ma: 1.0 0.0 1.0

Dreiecks-Helligkeit t^*



%Umfang
 $u^*_{rel} = 92$
%Regularität
 $g^*_{H,rel} = 42$
 $g^*_{C,rel} = 49$

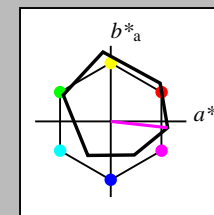
MRS18a; adaptierte CIELAB-Daten					
	$L^*=L^*_a$	a^*_a	b^*_a	$C^*_{ab,a}$	$h^*_{ab,a}$
RMa	49.63	66.8	40.02	77.87	31
JMa	90.7	-7.27	93.19	93.48	94
GMa	52.11	-69.93	11.26	70.85	171
G50BMa	45.03	-36.65	-27.13	45.61	217
BMa	36.65	23.26	-62.27	66.49	290
B50RMa	34.94	57.27	-43.6	71.99	323
NMa	18.01	0.0	0.0	0.0	0
WMa	95.41	0.0	0.0	0.0	0
RCIE	39.92	58.67	27.97	64.99	25
JCIE	81.26	-2.91	71.56	71.62	92
GCIE	52.23	-42.47	13.58	44.6	162
BCIE	30.57	1.33	-46.48	46.51	272

Ausgabe: Farbmétrisches Reflexions-System ORS18

für Buntton $h^* = lab^*h = 354/360 = 0.982$
 lab^*ich und lab^*nch

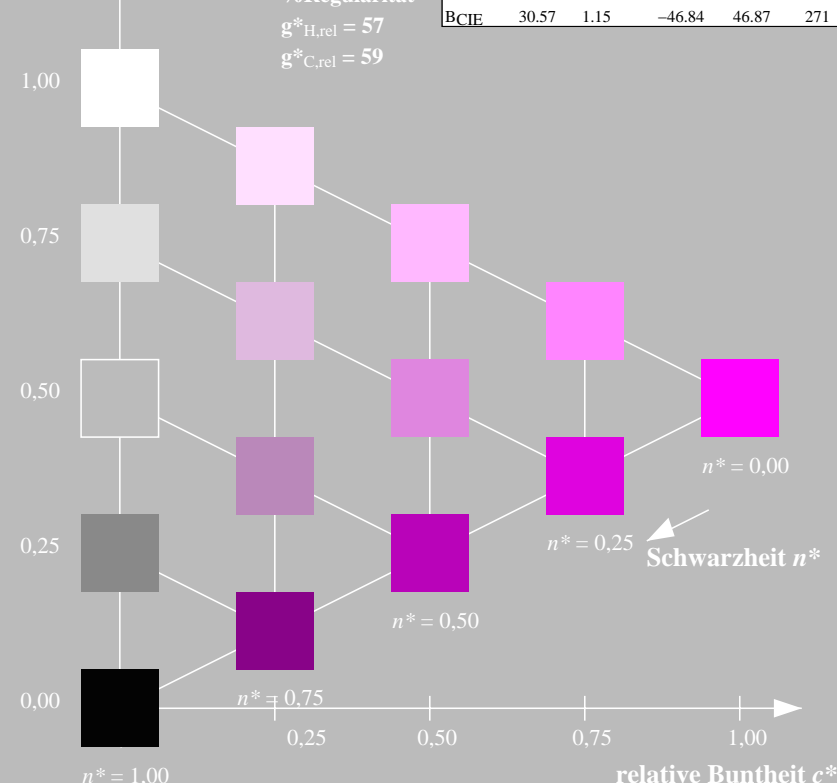
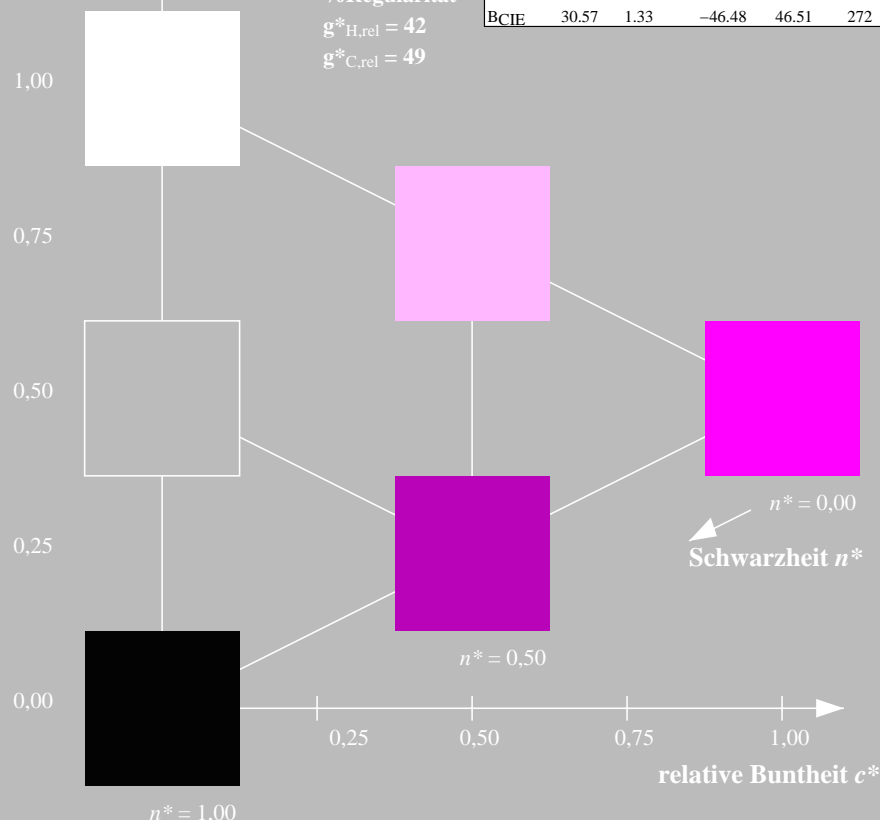
D65: Buntton M
LCH*Ma: 48 76 354
rgb*Ma: 1.0 0.0 1.0

Dreiecks-Helligkeit t^*



%Umfang
 $u^*_{rel} = 93$
%Regularität
 $g^*_{H,rel} = 57$
 $g^*_{C,rel} = 59$

ORS18; adaptierte CIELAB-Daten					
	$L^*=L^*_a$	a^*_a	b^*_a	$C^*_{ab,a}$	$h^*_{ab,a}$
RMa	47.94	65.37	50.52	82.62	38
JMa	90.37	-10.27	91.77	92.34	96
GMa	50.9	-62.79	34.95	71.87	151
G50BMa	58.62	-30.35	-45.01	54.3	236
BMa	25.71	31.11	-44.42	54.24	305
B50RMa	48.13	75.27	-8.35	75.73	354
NMa	18.01	0.0	0.0	0.0	0
WMa	95.41	0.0	0.0	0.0	0
RCIE	39.92	58.66	26.98	64.56	25
JCIE	81.26	-2.17	67.76	67.79	92
GCIE	52.23	-42.26	11.75	43.87	164
BCIE	30.57	1.15	-46.84	46.87	271



TG660-7, 3stufige Reihen für konstanten CIELAB Buntton 323/360 = 0.896 (links)

5stufige Reihen für konstanten CIELAB Buntton 354/360 = 0.982 (rechts)

BAM-Prüfvorlage TG66; Farbmétrik-Systeme MRS18a & ORS18
D65: 3 und 5stufige Farbreihen für 10 Bunttöne

input: `olv* setrgbcolor`
output: `olv* setrgbcolor / w* setgray`

output: *olv* setrgbcolor / w* setgray*

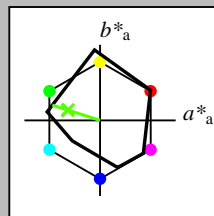
output: *olv* setrgbcolor / w* setgray*

Eingabe: Farbmatisches Reflexions-System MRS18a

für Buntton $h^* = lab^*h = 162/360 = 0.451$
 lab^*ich und lab^*nch

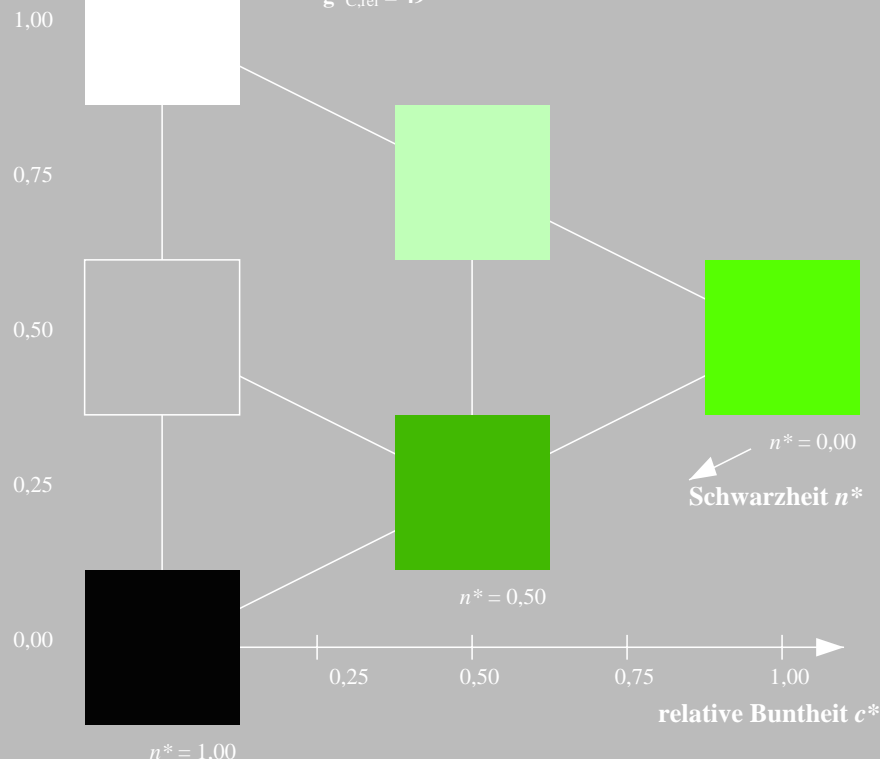
D65: Buntton G
LCH*Ma: 56 66 162
rgb*Ma: 0.11 1.0 0.0

Dreiecks-Helligkeit t^*



%Umfang
 $u^*_{rel} = 92$
%Regularität
 $g^*_{H,rel} = 42$
 $g^*_{C,rel} = 49$

MRS18a; adaptierte CIELAB-Daten					
	$L^*=L^*_a$	a^*_a	b^*_a	$C^*_{ab,a}$	$h^*_{ab,a}$
RMa	49.63	66.8	40.02	77.87	31
JMa	90.7	-7.27	93.19	93.48	94
GMa	52.11	-69.93	11.26	70.85	171
G50BMa	45.03	-36.65	-27.13	45.61	217
BMa	36.65	23.26	-62.27	66.49	290
B50RMa	34.94	57.27	-43.6	71.99	323
NMa	18.01	0.0	0.0	0.0	0
WMa	95.41	0.0	0.0	0.0	0
RCIE	39.92	58.67	27.97	64.99	25
JCIE	81.26	-2.91	71.56	71.62	92
GCIE	52.23	-42.47	13.58	44.6	162
BCIE	30.57	1.33	-46.48	46.51	272

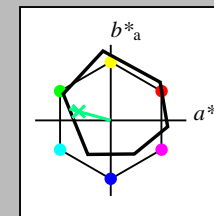


Ausgabe: Farbmatisches Reflexions-System ORS18

für Buntton $h^* = lab^*h = 164/360 = 0.457$
 lab^*ich und lab^*nch

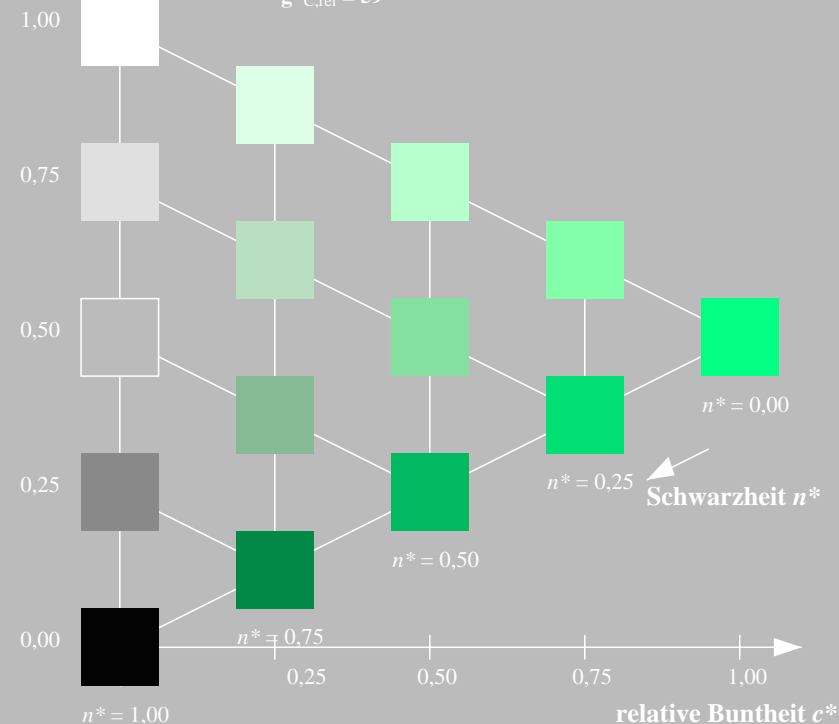
D65: Buntton G
LCH*Ma: 53 57 164
rgb*Ma: 0.0 1.0 0.25

Dreiecks-Helligkeit t^*



%Umfang
 $u^*_{rel} = 93$
%Regularität
 $g^*_{H,rel} = 57$
 $g^*_{C,rel} = 59$

ORS18; adaptierte CIELAB-Daten					
	$L^*=L^*_a$	a^*_a	b^*_a	$C^*_{ab,a}$	$h^*_{ab,a}$
RMa	47.94	65.37	50.52	82.62	38
JMa	90.37	-10.27	91.77	92.34	96
GMa	50.9	-62.79	34.95	71.87	151
G50BMa	58.62	-30.35	-45.01	54.3	236
BMa	25.71	31.11	-44.42	54.24	305
B50RMa	48.13	75.27	-8.35	75.73	354
NMa	18.01	0.0	0.0	0.0	0
WMa	95.41	0.0	0.0	0.0	0
RCIE	39.92	58.66	26.98	64.56	25
JCIE	81.26	-2.17	67.76	67.79	92
GCIE	52.23	-42.26	11.75	43.87	164
BCIE	30.57	1.15	-46.84	46.87	271



TG660-7, 3stufige Reihen für konstanten CIELAB Buntton 162/360 = 0.451 (links)

5stufige Reihen für konstanten CIELAB Buntton 164/360 = 0.457 (rechts)

BAM-Prüfvorlage TG66; Farbmatrik-Systeme MRS18a & ORS18
D65: 3 und 5stufige Farbreihen für 10 Bunttöne

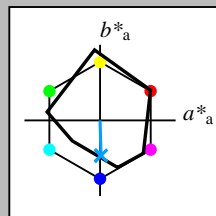
input: `olv* setrgbcolor`
output: `olv* setrgbcolor / w* setgray`

Eingabe: Farbmatisches Reflexions-System MRS18a

für Buntton $h^* = lab^*h = 272/360 = 0.755$
 lab^*ich und lab^*nch

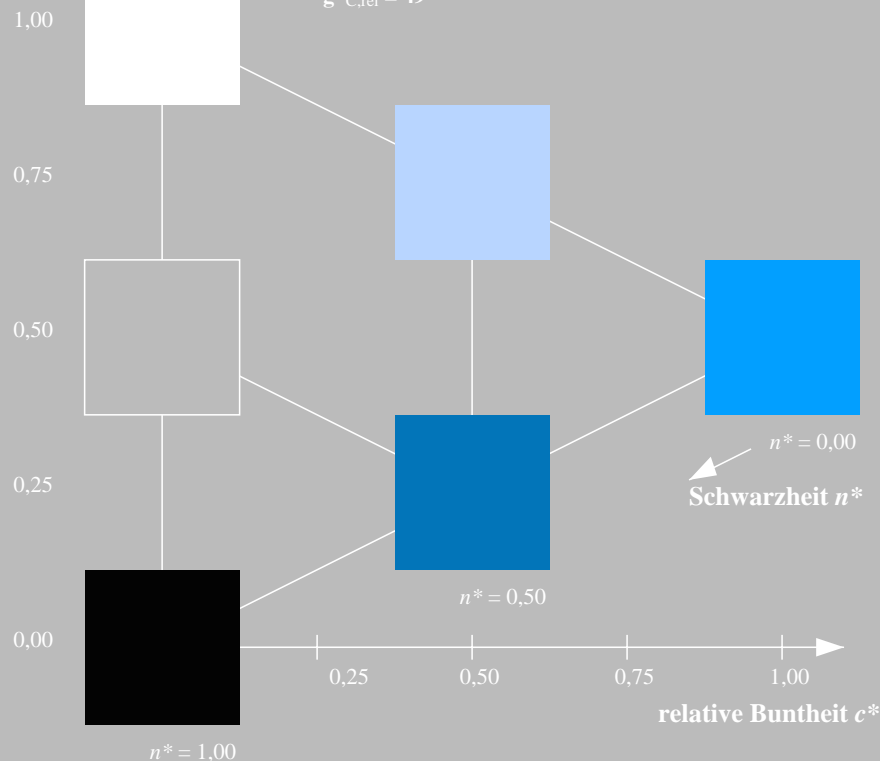
D65: Buntton B
LCH*Ma: 40 49 272
rgb*Ma: 0.0 0.36 1.0

Dreiecks-Helligkeit t^*



%Umfang
 $u^*_{rel} = 92$
%Regularität
 $g^*_{H,rel} = 42$
 $g^*_{C,rel} = 49$

MRS18a; adaptierte CIELAB-Daten					
	$L^*=L^*_a$	a^*_a	b^*_a	$C^*_{ab,a}$	$h^*_{ab,a}$
RMa	49.63	66.8	40.02	77.87	31
JMa	90.7	-7.27	93.19	93.48	94
GMa	52.11	-69.93	11.26	70.85	171
G50BMa	45.03	-36.65	-27.13	45.61	217
BMa	36.65	23.26	-62.27	66.49	290
B50RMa	34.94	57.27	-43.6	71.99	323
NMa	18.01	0.0	0.0	0.0	0
WMa	95.41	0.0	0.0	0.0	0
RCIE	39.92	58.67	27.97	64.99	25
JCIE	81.26	-2.91	71.56	71.62	92
GCIE	52.23	-42.47	13.58	44.6	162
BCIE	30.57	1.33	-46.48	46.51	272

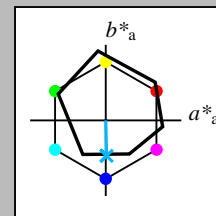


Ausgabe: Farbmatisches Reflexions-System ORS18

für Buntton $h^* = lab^*h = 271/360 = 0.754$
 lab^*ich und lab^*nch

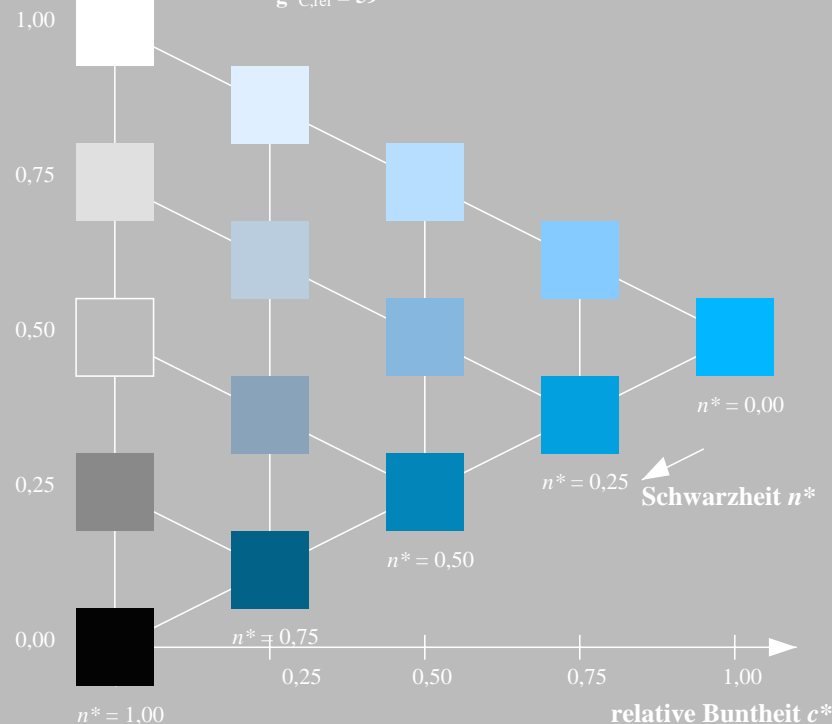
D65: Buntton B
LCH*Ma: 42 45 271
rgb*Ma: 0.0 0.49 1.0

Dreiecks-Helligkeit t^*



%Umfang
 $u^*_{rel} = 93$
%Regularität
 $g^*_{H,rel} = 57$
 $g^*_{C,rel} = 59$

ORS18; adaptierte CIELAB-Daten					
	$L^*=L^*_a$	a^*_a	b^*_a	$C^*_{ab,a}$	$h^*_{ab,a}$
RMa	47.94	65.37	50.52	82.62	38
JMa	90.37	-10.27	91.77	92.34	96
GMa	50.9	-62.79	34.95	71.87	151
G50BMa	58.62	-30.35	-45.01	54.3	236
BMa	25.71	31.11	-44.42	54.24	305
B50RMa	48.13	75.27	-8.35	75.73	354
NMa	18.01	0.0	0.0	0.0	0
WMa	95.41	0.0	0.0	0.0	0
RCIE	39.92	58.66	26.98	64.56	25
JCIE	81.26	-2.17	67.76	67.79	92
GCIE	52.23	-42.26	11.75	43.87	164
BCIE	30.57	1.15	-46.84	46.87	271



TG660-7, 3stufige Reihen für konstanten CIELAB Buntton 272/360 = 0.755 (links)

5stufige Reihen für konstanten CIELAB Buntton 271/360 = 0.754 (rechts)

BAM-Prüfvorlage TG66; Farbmatrik-Systeme MRS18a & ORS18
D65: 3 und 5stufige Farbreihen für 10 Bunttöne

input: `olv* setrgbcolor`
output: `olv* setrgbcolor / w* setgray`